

第九讲：矩阵计算并行算法

陈俊清

jqchen@math.tsinghua.edu.cn

清华大学数学科学系

May 17, 2013

Part I

矩阵并行计算

- 1 稠密矩阵向量乘并行计算
- 2 稠密矩阵乘并行计算
- 3 BLAS简介

矩阵计算在数值代数中起着最基本的作用:

- 线性代数方程组: $Ax = b$;
- 线性最小二乘问题: $\min_{x \in \mathcal{R}^n} \|Ax - b\|_2, b \in \mathcal{R}^m$;
- 矩阵特征值问题: $Ax = \lambda x$;
- 矩阵奇异值分解: $A = U\Sigma V^T$.

消息传递型并行系统的通信模式为: $T = \alpha + \beta N$, 其中, α 为启动时间, β 为传输单位数据所需的时间, N 是数据传输量。

1 稠密矩阵向量乘并行计算

2 稠密矩阵乘并行计算

3 BLAS简介

稠密矩阵向量乘

给定稠密矩阵

$$A = \begin{pmatrix} a_{1,1} & a_{1,2} & \dots & a_{1,n} \\ a_{2,1} & a_{2,2} & \dots & a_{2,n} \\ \dots & \dots & \dots & \dots \\ a_{n,1} & a_{n,2} & \dots & a_{n,n} \end{pmatrix}$$

与 n 维向量 $x = [x_1, x_2, \dots, x_n]$, 计算 A 与 x 的乘积 $y = [y_1, y_2, \dots, y_n]$, 其串行算法如下:

算法9.1, 矩阵向量乘串行算法

```
for i=1:n
    y(i)=0;
    for j=1:n
        y(i)= y(i) + a(i,j)*x(j);
    end
end
```

一维块划分下的并行算法

将矩阵A按行分成p块, 假设n可被p整除 (令 $m = n/p$. 若不能整除, 可将某些块多一行), 则第k ($0 \leq k \leq p-1$) 块为:

$$A_k = [A_{k,0}, A_{k,1}, \dots, A_{k,p-1}],$$

其中

$$A_{k,j} = \begin{pmatrix} a_{k \times m+1, j \times m+1} & a_{k \times m+1, j \times m+2} & \dots & a_{k \times m+1, j \times m+m} \\ a_{k \times m+2, j \times m+1} & a_{k \times m+2, j \times m+2} & \dots & a_{k \times m+2, j \times m+m} \\ \dots & \dots & \dots & \dots \\ a_{k \times m+m, j \times m+1} & a_{k \times m+m, j \times m+2} & \dots & a_{k \times m+m, j \times m+m} \end{pmatrix}$$

对应的

$$x_k = [x_{k \times m+1}, x_{k \times m+2}, \dots, x_{k \times m+m}],$$

$$y_k = [y_{k \times m+1}, y_{k \times m+2}, \dots, y_{k \times m+m}],$$

一维块划分并行算法(续)

假设 A_k, x_k, y_k 都存在进程 k 上, 对应的局部变量为 A', x', y' 。

$$y_k = A_k x = \sum_{j=0}^{p-1} A_{k,j} x_j = \sum_{j=0}^{p-1} A_{k,(k+j) \bmod p} x_{(k+j) \bmod p}$$

在给定进程 k 上, 每步计算中需用的子矩阵 A 的行标号不变, 即需用的 A 的块实际上都处在本进程上。而在第 j 步计算的时候需用到 x 的子向量, 其标号比当前进程号大,

$$\{(k+j) \bmod p - k\} \bmod p = j.$$

故可以通过每计算一次将 x 的块在(同列)进程中循环上移一个位置的方式来实现。在计算到第 j 步的时候, 由于 x 的块总共循环上移了 j 个位置, 所以此时需要用到的 x 的块恰好已经移到当前进程上。

一维块划分并行算法（续）

记 $A'_j = A_{myid,j}$. 具体算法如下:

算法9.2 稠密矩阵向量乘一维行块划分并行算法

- ① Set $w = x'$; $y' = A'_{myid}x'$;
- ② for $j = 1$ to $p-1$ do
 Send w to $P_{(myid-1+p) \bmod p}$;
 Recv w from $P_{(myid+1) \bmod p}$;
 $y' = y' + A'_{(myid+j) \bmod p}w$;
endfor

注: 为简单起见, 可以让每个进程对向量 x 作一到多广播 (多对多广播), 然后再计算。

一维块划分并行算法（续）

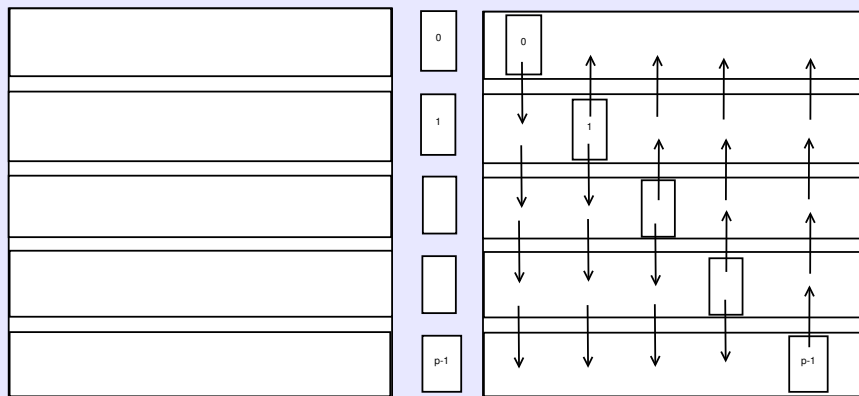


Figure: 矩阵划分与向量广播

一维块划分并行算法（续）

- 计算时间：每个进程都进行了一次 $n/p \times n$ 矩阵与 n 维向量的乘积，设一个浮点操作的时间为 c ，则总计算时间为：

$$2cn^2/p$$

- 通信时间：需要进行 $p - 1$ 次通信，每次通信的数据量是 n/p ，故总通信时间：

$$(p - 1)(\alpha + \beta n/p)$$

一维块划分并行算法（续）

- 总时间:

$$T_p = 2cn^2/p + (p-1)\alpha + (p-1)\beta n/p$$

- 串型计算的时间为:

$$2cn^2$$

- 并行效率:

$$E_p = \frac{T_1}{pT_p} = \frac{2cn^2}{2cn^2 + p(p-1)\alpha + (p-1)n\beta}$$

注：试利用上次课的方法分析其可扩展性，求其等效率函数。

二维块划分下的并行算法

设一共有 $q = p^2$ 个进程，组成 $p \times p$ 的进程网格，将矩阵 A 分成如下 $p \times p$ 块：

$$A = \begin{pmatrix} A_{0,0} & A_{0,1} & \dots & A_{0,p-1} \\ A_{1,0} & A_{1,1} & \dots & A_{1,p-1} \\ \dots & \dots & \dots & \dots \\ A_{p-1,0} & A_{p-1,1} & \dots & A_{p-1,p-1} \end{pmatrix}$$

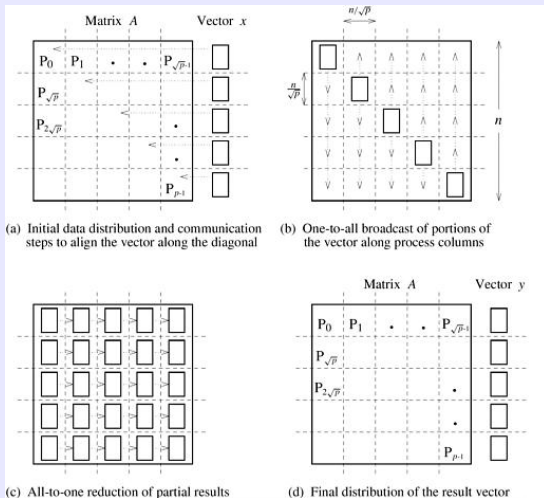
$\mathbf{x}_k, \mathbf{y}_k$ 都按一维的划分方式分成 p 个块。假设 $A_{k,j}$ 存储在进程 $P_{k,j}$ 上的局部变量 A' 中， $\mathbf{x}_k, \mathbf{y}_k$ 存储在进程 $P_{k,0}$ 的局部变量 \mathbf{x}', \mathbf{y}' 中，由于在进程 $P_{k,j}$ 上需要计算 \mathbf{y}_k 的一个部分和 $A_{k,j}\mathbf{x}_j$ ，所以开始需要进行对齐的工作：将 $P_{k,0}$ 上的 \mathbf{x}_k 传到 $P_{k,k}$ 上，然后在第 k 列进行广播 \mathbf{x}_k 。各进程计算后，每行求和归约到第0列进程中得到计算结果。

二维块划分下的并行算法（续）

数据的初始存储位置:

$$\begin{array}{ccccccc} P_{0,0} : A_{0,0}, \mathbf{x}_0 & P_{0,1} : A_{0,1} & \dots & P_{0,p-1} : A_{0,p-1} \\ P_{1,0} : A_{1,0}, \mathbf{x}_1 & P_{1,1} : A_{1,1} & \dots & P_{1,p-1} : A_{1,p-1} \\ \dots & \dots & \dots & \dots \\ P_{p-1,0} : A_{p-1,0}, \mathbf{x}_{p-1} & P_{p-1,1} : A_{p-1,1} & \dots & P_{p-1,p-1} : A_{p-1,p-1} \end{array}$$

二维块划分下的并行算法 (续)



二维块划分下的并行算法（续）

算法9.3 进行稠密矩阵向量乘 $y = Ax$ 的二维块划分并行算法:

- ① $\text{myrow} = \text{myrank} \bmod p$; $\text{mycol} = \text{myrank}/p$;
- ② if $\text{mycol} == 0$ then
 Send \mathbf{x}' to $P_{\text{myrow}, \text{myrow}}$;
 if $\text{myrow} == \text{mycol}$ then
 Recv \mathbf{x}' from $P_{\text{myrow}, 0}$;
- ③ Broadcast \mathbf{x}' from $P_{\text{mycol}, \text{mycol}}$ in comcolumn;
 Compute $\mathbf{y}' = A'\mathbf{x}'$;
 Reduce in each row for \mathbf{y}' to $P_{\text{myrow}, 0}$.

二维块划分下的并行算法（续）

- 对齐通信时间: $\alpha + \beta n/p$
- 广播时间: $(\alpha + \beta n/p) \log p$
- 归约时间: $(\alpha + c + \beta n/p) \log p$
- 计算时间: $2n^2c/p^2$

总时间为

$$T_q = (\alpha + \beta n/p)(2 \log p + 1) + c \log p + 2n^2c/p^2$$

串型计算的时间为:

$$T_1 = 2cn^2$$

同样，可以计算效率与等效率函数。试比较在同样多处理器下前述两种方法的快慢。

1 稠密矩阵向量乘并行计算

2 稠密矩阵乘并行计算

3 BLAS简介

稠密矩阵乘的串行算法

给定两个 n 阶矩阵 A, B , 矩阵乘法指计算 $C = A \times B$, 当前已经存在许多矩阵乘的快速算法, 其所需的浮点数少于 $O(n^{\log 7})$.

下面以简单的 $O(n^3)$ 矩阵乘串行算法为基础进行并行算法的介绍与分析。

算法9.4 稠密矩阵乘ijk形式的串行算法

```
for i=1:n
    for j=1:n
        c(i,j)=0;
        for k=1:n
            c(i,j)=c(i,j)+a(i,k)b(k,j);
        end
    end
end
```

分块矩阵相乘

一个 $n \times n$ 的矩阵 A 可以视为 $q \times q$ 的分块阵 A_{ij} , ($0 \leq i, j \leq q-1$), 每个子矩阵的大小为 $n/q \times n/q$ 。我们可以将前述串行算法写为:

算法9.4.1 稠密分块矩阵乘串行算法

```
for i=0:q-1
    for j=0:q-1
        Cij=0
        for k=0: q-1
            Cij=Cij+Aik * Bkj
        end
    end
end
```

基于行列划分的一维并行算法

假设一共有 p 个进程，将矩阵 A 按行分成 p 个块， B 按列分成 p 个块：

$$A = \begin{pmatrix} A_0 \\ A_1 \\ \dots \\ A_{p-1} \end{pmatrix}, B = [B_0, B_1, \dots, B_{p-1}],$$

每块包含若干行。为使负载平衡，应使每块中的行数尽量相等。 A_k, B_k 分别存储在进程 P_k 的 A', B' 中，将 C 分成 $p \times p$ 块，且将 $C_{i,j}$ 存储在 P_i 的 C'_j 中。

将 $C_{i,j} = A_i \times B_j$ 的计算放在 P_i 上进行，这样在初始数据分布时，数据 A_i 已经在进程 P_i 上，但 P_i 上只有 B_i ，其它的 B_j 在其它进程上，计算的时候可以通过循环左移的方式将需要的 B_j 移到当前进程。

数据分布：

$$P_0 : A_0, B_0; \quad P_1 : A_1, B_1; \quad \dots \quad P_{p-1} : A_{p-1}, B_{p-1}.$$

基于行列划分的一维并行算法(续)

算法9.5 稠密矩阵乘 $C = A \times B$ 的行列划分并行算法

```
① for k=0:p-1  
    Compute  $C'_{(myrank+k)modp} = A' \times B'$ ;  
    Send  $B'$  to  $P_{(myrank-1+p)modp}$ ;  
    Recv  $B'$  from  $P_{(myrank+1)modp}$ ;  
endfor
```

基于行列划分的一维并行算法（续）

算法的计算量与数据交换量：

- 数据交换量：每次交换数据为 $n \times n/p$, 交换次数为 $p - 1$ 次, 故总数据交换量为：

$$DTA = (p - 1) \times n \times n/p = (p - 1)n^2/p$$

- 计算量：每次计算一个 $n/p \times n$ 与 $n \times n/p$ 阶矩阵的乘积, 共需 p 次

$$CA = p \times n/p \times n \times n/p = n^3/p$$

运行时间(忽略最后一次数据对齐):

$$T_p = 2n^3c/p + (p - 1)(\alpha + \beta n^2/p)$$

基于行行划分的一维并行算法

将 B 也进行划分:

$$B = \begin{pmatrix} B_0 \\ B_1 \\ \dots \\ B_{p-1} \end{pmatrix}$$

并将 A 作进一步划分 $A_i = [A_{i,0}, A_{i,1}, \dots, A_{i,p-1}]$, 其中 $A_{i,j}$ 的列数与 B_j 的行数对应相等。记 $C_i = [C_{i,0}, C_{i,1}, \dots, C_{i,p-1}]$, 将 $A_{i,j}$, B_j , C_i 分别存储在 P_i 的 A'_j , B'_j , C'_i 中, 计算过程可用如下公式表示:

$$C_i = \sum_{j=0}^{p-1} A_{i,j} B_j = \sum_{j=0}^{p-1} A_{i,(i+j) \bmod p} B_{(i+j) \bmod p},$$

基于行行划分的一维并行算法（续）

可以类似于行列划分的方法对B进行循环上移，使得每步需要用到B的块刚好移动到当前进程。具体算法如下：

算法9.6，行行划分的一维并行算法

- ① Set $C' = 0$;
 - ② for $j=0$ to $p-1$ do
 - Compute $C' = C' + A'_{(myrank+j) \bmod p} \times B'$;
 - Send B' to $P_{(myrank-1+p) \bmod p}$;
 - Recv B' from $P_{(myrank+1) \bmod p}$;
- endfor

基于列划分的一维并行算法

将矩阵A, B分别按列划分

为 $A = [A_0, A_1, \dots, A_{p-1}]$, $B = [B_0, B_1, \dots, B_{p-1}]$, 并将 B_j 进一步按行划分为:

$$B_j = \begin{pmatrix} B_{0,j} \\ B_{1,j} \\ \dots B_{p-1,j} \end{pmatrix}$$

其中 A_i 的列数等于 $B_{i,j}$ 的行数。对C进行与B相对应的划分, 得到 $C = [C_0, C_1, \dots, C_{p-1}]$, 于是

$$C_j = A \times B_j = \sum_{i=0}^{p-1} A_i \times B_{i,j} = \sum_{i=0}^{p-1} A_{(i+j) \bmod p} \times B_{(i+j) \bmod p, j}$$

基于列列划分的一维并行算法（续）

算法9.7，稠密矩阵乘的列列划分并行算法

- ① Set $C' = 0$;
- ② for $i=0$ to $p-1$ do
 Compute $C' = C' + A' \times B'_{(myrank+i) \bmod p}$;
 Send A' to $P_{(myrank-1+p) \bmod p}$;
 Recv A' from $P_{(myrank+1) \bmod p}$;
endfor

基于列行划分的一维并行算法

将矩阵A按列划分为 $A = [A_0, A_1, \dots, A_{p-1}]$,将矩阵B按行划分为:

$$B = \begin{pmatrix} B_0 \\ B_1 \\ \dots \\ B_{p-1} \end{pmatrix}$$

将 B_i 进一步划分为 $B_i = [B_{i,0}, B_{i,1}, \dots, B_{i,p-1}]$,将C按与 B_i 相对应的方式划分为 $C = [C_0, C_1, \dots, C_{p-1}]$,则:

$$C_j = \sum_{i=0}^{p-1} A_i \times B_{i,j} = \sum_{i=0}^{p-1} A_{(j-i) \bmod p} \times B_{(j-i) \bmod p, j}$$

基于列行划分的一维并行算法（续）

进行第 i 步计算时，需用到的 $A_{(j-i) \bmod p}$ 与 $B_{(j-i) \bmod p, j}$ 都处于进程 $P_{(j-i) \bmod p}$ 上，计算得到的是 C_j 的一个部分和，而该部分和应存储在进程 P_j 上，换言之，在第 i 步，进程 P_j 上计算得到了应该存储在进程 $P_{(i+j) \bmod p}$ 的一个部分和 $A_j \times B_{(j+i) \bmod p}$ ，我们将该算法具体描述如下：

算法9.8，稠密矩阵乘的列行划分并行算法

- ① Set $C' = A' \times B'$;
 - ② for $i=1$ to $p-1$ do
 - Compute $W = A' \times B'_{(myrank+i) \bmod p}$;
 - Send W to $P_{(myrank+i) \bmod p}$;
 - Recv W from $P_{(myrank-i+p) \bmod p}$;
 - Compute $C' = C' + W$;
- endfor

基于多对多广播的二维并行算法

假设现在要在 $q = p \times p$ 个进程上进行计算，且这 q 个进程组织为 $p \times p$ 二维环状网格，同时对矩阵 A 、 B 、 C 都进行二维块划分，各分成 $p \times p$ 块。例如：

$$\begin{array}{lll} P_{0,0} : A_{0,0}, B_{0,0}, C_{0,0} & P_{0,1} : A_{0,1}, B_{0,1}, C_{0,1} & P_{0,2} : A_{0,2}, B_{0,2}, C_{0,2} \\ P_{1,0} : A_{1,0}, B_{1,0}, C_{1,0} & P_{1,1} : A_{1,1}, B_{1,1}, C_{1,1} & P_{1,2} : A_{1,2}, B_{1,2}, C_{1,2} \\ P_{2,0} : A_{2,0}, B_{2,0}, C_{2,0} & P_{2,1} : A_{2,1}, B_{2,1}, C_{2,1} & P_{2,2} : A_{2,2}, B_{2,2}, C_{2,2} \end{array}$$

Table: 稠密矩阵二维块划分并行算法中数据存储空间

基于多对多广播的二维并行算法(续)

为计算进程 $P_{i,j}$ 上的子矩阵 $C_{i,j}$,最直接的方法是将所有的 $A_{i,k}$ 与 $B_{k,j}$ 都收集到进程 $P_{i,j}$ 上,之后将所有 $A_{i,k}B_{k,j}(k = 0, \dots, p - 1)$ 累加起来就可得到结果:

$$C_{i,j} = \sum_{k=0}^{p-1} A_{i,k} B_{k,j}$$

基于多对多广播的二维并行算法 (续)

算法9.9, 稠密矩阵乘多对多广播并行算法

- ① Set $U = A'$; $V = B'$; $Z_{mycol} = A'$; $W_{myrow} = B'$;
- ② for $k=1$ to $p-1$ do
 Send U to $P_{myrow, (mycol+k) \bmod p}$;
 Recv U from $P_{myrow, (mycol-k+p) \bmod p}$;
 Set $Z_{(mycol+k) \bmod p} = U$;
endfor
- ③ for $k=1$ to $p-1$ do
 Send V to $P_{(myrow+k) \bmod p, mycol}$;
 Recv V from $P_{(myrow-k+p) \bmod p, mycol}$;
 Set $W_{(myrow+k) \bmod p} = V$;
endfor
- ④ Set $C' = 0$;
- ⑤ for $k=0$ to $p-1$ do $C' = C' + Z_k \times W_k$.

基于多对多广播的二维并行算法（续）

- 通信时间:

$$2(\alpha + \beta n^2/p^2)(p-1)$$

- 计算时间:

$$2(n/p)^3 \times p \times c = 2cn^3/p^2$$

- 并行计算总时间

$$T_q = 2cn^3/p^2 + 2(\alpha + \beta n^2/p^2)(p-1)$$

- 串行时的时间:

$$T_1 = 2cn^3$$

- 并行效率:

$$E_q = \frac{T_1}{p^2 T_q}$$

正方形网格上的Fox算法

多对多广播并行算法的两个显著缺点:

- 每个进程上需要存储 p 个 A 和 p 个 B 的块, 这些块所需总存储量为 $2n^2/p$;
- 算法中要先进行两次多对多广播后才能进行计算, 必须严格遵守先后顺序, 不利于计算与通信的重叠。

将计算公式写为:

$$C_{i,j} = \sum_{k=0}^{p-1} A_{i,k} B_{k,j} = \sum_{k=0}^{p-1} A_{i,(i+k) \bmod p} B_{(i+k) \bmod p,j}.$$

Fox算法基于上式中的后一个等式。

正方形网格上的Fox算法(续)

在Fox算法中，矩阵乘一共分为 p 步。

- 第 k ($0 \leq k \leq p-1$) 步上所有行号 i 相同的进程都要用到 $A_{i,(i+k) \bmod p}$ ，只与 i 、 k 有关，与 j 无关。从而，第 k 步时先把 $A_{i,(i+k) \bmod p}$ 广播到同行上其它进程即可。
- 进程 $P_{i,j}$ 上需用到的 B 的块的两个下标中，列标为 j ，所以这些块必定处于同列进程中。同时行标号为 $(i+k) \bmod p$ ，这说明该 B 的块位于当前进程下方与 $P_{i,j}$ 相距 k 的进程之上，这个距离与 j 无关，可以通过每计算一次将 B 的块在同列进程中循环上移一个位置来实现。

正方形网格上的Fox算法(续)

| k=0前 | k=0后 |
|--|--|
| $A_{0,0}, B_{0,0}; A_{0,1}, B_{0,1}; A_{0,2}, B_{0,2}$ | $A_{0,0}, B_{1,0}; A_{0,1}, B_{1,1}; A_{0,2}, B_{1,2}$ |
| $A_{1,0}, B_{1,0}; A_{1,1}, B_{1,1}; A_{1,2}, B_{1,2}$ | $A_{1,0}, B_{2,0}; A_{1,1}, B_{2,1}; A_{1,2}, B_{2,2}$ |
| $A_{2,0}, B_{2,0}; A_{2,1}, B_{2,1}; A_{2,2}, B_{2,2}$ | $A_{2,0}, B_{0,0}; A_{2,1}, B_{0,1}; A_{2,2}, B_{0,2}$ |
| k=1后 | k=2 后 |
| $A_{0,0}, B_{2,0}; A_{0,1}, B_{2,1}; A_{0,2}, B_{2,2}$ | $A_{0,0}, B_{0,0}; A_{0,1}, B_{0,1}; A_{0,2}, B_{0,2}$ |
| $A_{1,0}, B_{0,0}; A_{1,1}, B_{0,1}; A_{1,2}, B_{0,2}$ | $A_{1,0}, B_{1,0}; A_{1,1}, B_{1,1}; A_{1,2}, B_{1,2}$ |
| $A_{2,0}, B_{1,0}; A_{2,1}, B_{1,1}; A_{2,2}, B_{1,2}$ | $A_{2,0}, B_{2,0}; A_{2,1}, B_{2,1}; A_{2,2}, B_{2,2}$ |

Table: Fox算法数据分布变化

正方形网格上的Fox算法(续)

算法9.10, Fox算法

- ① Set $C' = 0$;
- ② for $k=0$ to $p-1$ do
 - if $\text{mycol} == (\text{myrow} + k) \bmod p$ then Set $W = A'$;
 - Broadcast W from $P_{\text{myrow}, (\text{myrow} + k) \bmod p}$ in the same row;
 - Compute $C' = C' + W \times B'$;
 - Send B' to $P_{(\text{myrow} - 1 + p) \bmod p, \text{mycol}}$;
 - Recv B' from $P_{(\text{myrow} + 1) \bmod p, \text{mycol}}$;
- endfor

注：在 $p-1$ 步之后，数据分布与初始分布是一致的，若只关心结果，最后一步的移动可以忽略。

正方形网格上的Cannon算法

Fox算法每一步都需要在行中进行广播，Cannon算法通过对A的块在行中循环移动来进一步减少由于广播引起的开销，同时也进一步增加了计算与通信的重叠程度。该算法基于如下公式：

$$C_{i,j} = \sum_{k=0}^{p-1} A_{i,(i+j+k) \bmod p} B_{(i+j+k) \bmod p, j}$$

当 k 取遍 $0 \dots p-1$ 后，不难验证 $(i+j+k) \bmod p$ 也取遍 $0, \dots, p-1$ ，从而说明了上述公式的正确性。

正方形网格上的Cannon算法（续）

在第 $k = 0$ 步，进程 $P_{i,j}$ 上计算的是

$$A_{i,(i+j) \bmod p} B_{(i+j) \bmod p, j},$$

而这两个块事先都不在当前进程上，那么在计算的时候要先将 $A_{i,(i+j) \bmod p}$ 从 $P_{i,(i+j) \bmod p}$ 传给 $P_{i,j}$ ， $B_{(i+j) \bmod p, j}$ 从 $P_{(i+j) \bmod p, j}$ 传给 $P_{i,j}$ 。即计算前有如下的对齐过程：

- $A_{i,j}$ 循环左移 i 个位置；
- $B_{i,j}$ 循环上移 j 个位置。

$k = 1, \dots, p - 1$ 步的计算中， $A_{i,(i+j+k) \bmod p}$ 行指标不变，列指标依次加1， $B_{(i+j+k) \bmod p, j}$ 列指标不变，行指标依次加1，故可以通过行的循环左移与列的循环上移来实现。

正方形网格上的Cannon算法（续）

| | | | |
|-----------|-----------|-----------|-----------|
| $A_{0,0}$ | $A_{0,1}$ | $A_{0,2}$ | $A_{0,3}$ |
| $A_{1,0}$ | $A_{1,1}$ | $A_{1,2}$ | $A_{1,3}$ |
| $A_{2,0}$ | $A_{2,1}$ | $A_{2,2}$ | $A_{2,3}$ |
| $A_{3,0}$ | $A_{3,1}$ | $A_{3,2}$ | $A_{3,3}$ |

(a) Initial alignment of A

| | | | |
|-----------|-----------|-----------|-----------|
| $B_{0,0}$ | $B_{0,1}$ | $B_{0,2}$ | $B_{0,3}$ |
| $B_{1,0}$ | $B_{1,1}$ | $B_{1,2}$ | $B_{1,3}$ |
| $B_{2,0}$ | $B_{2,1}$ | $B_{2,2}$ | $B_{2,3}$ |
| $B_{3,0}$ | $B_{3,1}$ | $B_{3,2}$ | $B_{3,3}$ |

(b) Initial alignment of B

| | | | |
|-----------|-----------|-----------|-----------|
| $A_{0,0}$ | $A_{0,1}$ | $A_{0,2}$ | $A_{0,3}$ |
| $B_{0,0}$ | $B_{1,1}$ | $B_{2,2}$ | $B_{3,3}$ |
| $A_{1,1}$ | $A_{1,2}$ | $A_{1,3}$ | $A_{1,0}$ |
| $B_{1,0}$ | $B_{2,1}$ | $B_{3,2}$ | $B_{0,3}$ |
| $A_{2,2}$ | $A_{2,3}$ | $A_{2,0}$ | $A_{2,1}$ |
| $B_{2,0}$ | $B_{3,1}$ | $B_{0,2}$ | $B_{1,3}$ |
| $A_{3,3}$ | $A_{3,0}$ | $A_{3,1}$ | $A_{3,2}$ |
| $B_{3,0}$ | $B_{0,1}$ | $B_{1,2}$ | $B_{2,3}$ |

(c) A and B after initial alignment

| | | | |
|-----------|-----------|-----------|-----------|
| $A_{0,1}$ | $A_{0,2}$ | $A_{0,3}$ | $A_{0,0}$ |
| $B_{1,0}$ | $B_{2,1}$ | $B_{3,2}$ | $B_{0,3}$ |
| $A_{1,2}$ | $A_{1,3}$ | $A_{1,0}$ | $A_{1,1}$ |
| $B_{2,0}$ | $B_{3,1}$ | $B_{0,2}$ | $B_{1,3}$ |
| $A_{2,3}$ | $A_{2,0}$ | $A_{2,1}$ | $A_{2,2}$ |
| $B_{3,0}$ | $B_{0,1}$ | $B_{1,2}$ | $B_{2,3}$ |
| $A_{3,0}$ | $A_{3,1}$ | $A_{3,2}$ | $A_{3,3}$ |
| $B_{0,0}$ | $B_{1,1}$ | $B_{2,2}$ | $B_{3,3}$ |

(d) Submatrix locations after first shift

| | | | |
|-----------|-----------|-----------|-----------|
| $A_{0,2}$ | $A_{0,3}$ | $A_{0,0}$ | $A_{0,1}$ |
| $B_{2,0}$ | $B_{3,1}$ | $B_{0,2}$ | $B_{1,3}$ |
| $A_{1,3}$ | $A_{1,0}$ | $A_{1,1}$ | $A_{1,2}$ |
| $B_{3,0}$ | $B_{0,1}$ | $B_{1,2}$ | $B_{2,3}$ |
| $A_{2,0}$ | $A_{2,1}$ | $A_{2,2}$ | $A_{2,3}$ |
| $B_{0,0}$ | $B_{1,1}$ | $B_{2,2}$ | $B_{3,3}$ |
| $A_{3,1}$ | $A_{3,2}$ | $A_{3,3}$ | $A_{3,0}$ |
| $B_{1,0}$ | $B_{2,1}$ | $B_{3,2}$ | $B_{0,3}$ |

(e) Submatrix locations after second shift

| | | | |
|-----------|-----------|-----------|-----------|
| $A_{0,3}$ | $A_{0,0}$ | $A_{0,1}$ | $A_{0,2}$ |
| $B_{3,0}$ | $B_{0,1}$ | $B_{1,2}$ | $B_{2,3}$ |
| $A_{1,0}$ | $A_{1,1}$ | $A_{1,2}$ | $A_{1,3}$ |
| $B_{0,0}$ | $B_{1,1}$ | $B_{2,2}$ | $B_{3,3}$ |
| $A_{2,1}$ | $A_{2,2}$ | $A_{2,3}$ | $A_{2,0}$ |
| $B_{1,0}$ | $B_{2,1}$ | $B_{3,2}$ | $B_{0,3}$ |
| $A_{3,2}$ | $A_{3,3}$ | $A_{3,0}$ | $A_{3,1}$ |
| $B_{2,0}$ | $B_{3,1}$ | $B_{0,2}$ | $B_{1,3}$ |

(f) Submatrix locations after third shift

正方形网格上的Cannon算法（续）

算法9.11 Cannon算法

- 1 Send A' to $P_{myrow, (mycol - myrow + p) \bmod p}$;
Recv A' from $P_{myrow, (myrow + mycol) \bmod p}$;
Send B' to $P_{(myrow - mycol + p) \bmod p, mycol}$;
Recv B' from $P_{(myrow + mycol) \bmod p, mycol}$;
- 2 Set $C' = 0$;
- 3 for $k=0$ to $p-1$ do
 Compute $C' = C' + A' \times B'$;
 Send A' to $P_{myrow, (mycol - 1 + p) \bmod p}$;
 Recv A' from $P_{myrow, (mycol + 1) \bmod p}$;
 Send B' to $P_{(myrow - 1 + p) \bmod p, mycol}$;
 Recv B' from $P_{(myrow + 1) \bmod p, mycol}$;
endfor

正方形网格上的Cannon算法（续）

在第 $p - 1$ 步结束后，进程 $P_{i,j}$ 上存储的数据恢复为 $A_{i,(i+j) \bmod p}, B_{(i+j) \bmod p, j}$ ，在需要使得计算结束后 $P_{i,j}$ 上存储 $A_{i,j}, B_{i,j}$ 的情况下，还需要一个反对齐的过程：

- 4 Send A' to $P_{myrow, (mycol + mycol) \bmod p}$;
Recv A' from $P_{myrow, (mycol - myrow + p) \bmod p}$;
Send B' to $P_{(myrow + mycol) \bmod p, mycol}$;
Recv B' from $P_{(myrow - mycol + p) \bmod p, mycol}$;

三维正方形网格上的DNS算法

假设现在有 $q = p^3$ 个进程，组织成 $p \times p \times p$ 三维网格，不妨设 n 能被 p 整除，且 A 、 B 、 C 各按二维方式分成 $p \times p$ 块， $A_{i,j}$ 、 $B_{i,j}$ 分别存储在 $P_{i,j,0}$ 上的 A' 、 B' 中，最后结果存在 $P_{i,j,0}$ 上的 C' 中，对DNS算法，矩阵乘法在 $P_{i,j,k}$ 上计算 $A_{i,k}B_{k,j}$ ，之后将 $P_{i,j,k}$ 上的部分和归约到 $P_{i,j,0}$ 上得以实现。

首先，由于初始数据 $A_{i,k}$ 存储在 $P_{i,k,0}$ 上，为使所有进程 $P_{i,j,k}$ 上都拥有 $A_{i,k}$ ，先将 $A_{i,k}$ 传到 $P_{i,k,k}$ 上，然后再广播到所有 $P_{i,j,k}$ 上。 $B_{k,j}$ 存在 $P_{k,j,0}$ 上，先将其传到 $P_{k,j,k}$ 上，然后再广播到所有 $P_{i,j,k}$ 上。

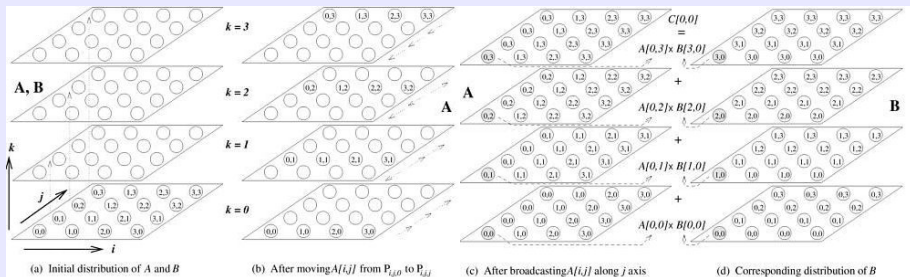
三维正方形网格上的DNS算法 (续)

当前进程为 $P_{i,j,k}$:

算法9.12, DNS算法

- ① if $k==0$ then Send A' to $P_{i,j,j}$;
if $k==j$ then Recv A' from $P_{i,j,0}$;
if $k==0$ then Send B' to $P_{i,j,i}$;
if $k==i$ then Recv B' from $P_{i,j,0}$;
- ② Broadcast A' from $P_{i,j,j}$ to $P_{i,0:p-1,j}$;
Broadcast B' from $P_{i,j,i}$ to $P_{0:p-1,j,i}$;
- ③ Compute $C' = A' \times B'$;
- ④ Reduce C' in $P_{i,j,0:p-1}$ to $P_{i,j,0}$;

DNS算法 (续)



稠密矩阵的算法的进一步说明

基于一维划分的并行算法:

- 行列划分
- 行行划分
- 列行划分
- 列列划分

若考虑方阵乘积, 它们具有相同的计算量和通信量, 但是对一般矩阵乘来说, 通信量各不相同, 可以根据具体情况选择具体的算法

(如 $A = (a_{i,j})_{m \times n}$, $B = (b_{i,j})_{n \times k}$)。

二维、三维算法:

- Fox算法
- Cannon算法
- DNS算法

矩阵乘算法的实现

从多对多广播到Fox算法, Cannon算法, 实现计算与通信的重叠, 这也是优化一个算法的有效途径。

实现算法的要点:

- 利用MPI的进程拓扑结构来实现通信(1d,2d,3d笛卡尔拓扑);
- 数据分配考虑负载均衡。

1 稠密矩阵向量乘并行计算

2 稠密矩阵乘并行计算

3 BLAS简介

BLAS(basic Linear Algebra Subprograms)是一组基本线性代数子程序，用以实现基本的向量和矩阵运算，其下载地址：

<http://www.netlib.org/blas/>

也可以直接网络安装。

BLAS支持4种数据类型：单精度（real）、双精度（double）、单精度复数（real complex）、双精度复数（double complex），在 BLAS中用首字母表示，分别对应的首字母为S、D、C、Z。

按计算量的大小分为三个层次： Level 1 BLAS、Level 2 BLAS、Level 3 BLAS。

Level 1 BLAS

Level 1 BLAS包含向量和向量、向量和标量之间的运算。

- 向量内积与模:

$$\mathbf{x}^T \mathbf{y}, \mathbf{x}^H \mathbf{y}, \|\mathbf{x}\|_1, \|\mathbf{x}\|_2, \dots$$

相关子程序

有: DDOT, DDOTU, DDOTC, DNRM2, DASUM等;

- 向量、标量运算:

$$\mathbf{x} := \alpha \mathbf{x}, \mathbf{y} := \mathbf{x}, \mathbf{x} \text{与} \mathbf{y} \text{交换}, \mathbf{y} := \alpha \mathbf{x} + \mathbf{y}$$

相关子程序有: DSCAL, DCOPY, DSWAP, DAXPY。

- 平面旋转变换, 相关子程序有DROT,DROTG,DROM,DROTMG.

Level 2 BLAS

Level 2 BLAS包含矩阵和向量之间的运算。

- 矩阵乘向量:

$$\mathbf{y} := \alpha A\mathbf{x} + \beta\mathbf{y}, \mathbf{y} := \alpha A^T\mathbf{x} + \beta\mathbf{y}, \mathbf{y} := \alpha \bar{A}^T\mathbf{x} + \beta\mathbf{y}$$

\mathbf{x}, \mathbf{y} 表示向量, α, β 表示标量, A 表示矩阵。

- 秩1、秩2修正:

$$A := \alpha\mathbf{x}\mathbf{y}^T + A, A := \alpha\mathbf{x}\bar{\mathbf{y}}^T + A$$
$$H := \alpha\mathbf{x}\bar{\mathbf{x}}^T + H, H := \alpha\mathbf{x}\bar{\mathbf{y}}^T + \bar{\alpha}\mathbf{y}\bar{\mathbf{x}}^T + H$$

其中 H 表示Hermitian矩阵。

- 三角形方程组求解:

$$\mathbf{x} := T^{-1}\mathbf{x}, \mathbf{x} := T^{-T}\mathbf{x}, \mathbf{x} := \bar{T}^{-T}\mathbf{x}$$

Level 2 BLAS子程序名称的最后一个或两个字母表示运算类型；

- MV: 矩阵向量乘
- R:秩1修正
- R2:秩2修正
- SV:解线性方程组

中间两个字母表示矩阵类型：如GE与GB分别表示普通矩阵与普通带状矩阵，HE、HP、HB分别表示普通Hermite阵、压缩存储的Hermite阵和带状Hermite阵SY、SP与SB分别表示对称阵，压缩对称阵和带状对称阵，TR、TP、TB表示三角阵、压缩三角阵和带状三角阵。

例如：DGEMV计算普通矩阵向量乘，DTRSV求解三角方程组。

Level 3 BLAS

Level 3 BLAS针对矩阵与矩阵之间的运算。

- 矩阵乘积

$$\begin{aligned}C &:= \alpha AB + \beta C, C := \alpha A^T B + \beta C; \\C &:= \alpha AB^T + \beta C, C := \alpha A^T B^T + \beta C\end{aligned}$$

- 对称矩阵秩k，秩2k修正

$$\begin{aligned}C &:= \alpha AA^T + \beta C, C := \alpha A^T A + \beta C, \\C &:= \alpha AB^T + \alpha BA^T + \beta C, C := \alpha A^T B + \alpha B^T A + \beta C.\end{aligned}$$

- 矩阵与三角形矩阵的乘积:

$$B := \alpha TB, B := \alpha T^T B, B := \alpha BT, B := \alpha BT^T$$

- 求解含有多个右端项的三角方程组:

$$B := \alpha T^{-1}B, B := \alpha T^{-T}B, B := \alpha BT^{-1}, B := \alpha BT^{-T}.$$

Level 3 BLAS

命名规则与Level 2 BLAS类似，最后的2个或3个字母表示运算类型

- MM: 矩阵乘
- RK: 秩k修正
- R2K: 秩2k修正
- SM: 三角矩阵方程求解

中间两个字母表示矩阵类型，GE、SY、HE、TR分别表示普通、对称、Hermite和三角阵。

例如DGEMM表示普通矩阵乘，而DSYMM表示对称矩阵乘等等。

使用BLAS库的原则：尽可能使用Level 3的BLAS，其次使用Level 2的BLAS。

分析Cannon算法的效率。